

几种规则三度体磁异常 垂直分量(ΔZ)平面理论曲线图集

桂林冶金地质研究所 治金地球物理探矿公司编

地 质 出 版 社

P 631.2

Gly

几种规则三度体磁异常 垂直分量(ΔZ)平面理论曲线图集

桂林冶金地质研究所 冶金地球物理探矿公司编

地 质 出 版 社

**几种规则三度体磁异常
垂直分量(ΔZ)平面理论曲线图集**

**桂林冶金地质研究所 编
冶金地球物理探矿公司**

*
地质局书刊编辑室编辑
地质出版社出版
地质印刷厂印刷
新华书店北京发行所发行·各地新华书店经售

*
1975年4月北京第一版·1975年4月北京第一次印刷
印数1—5,450册·定价1.30元
统一书号: 15038·新89

前　　言

建国以来，尤其是无产阶级文化大革命以来，磁法勘探在寻找磁铁矿床上获得了良好的效果，磁异常的解释推断水平不断地得到提高。但是，我们在解释推断磁异常时，一般都采用二度体（即走向长度无限的磁性体）磁异常的解释推断方法。当磁性体不是二度体而是三度体（即走向长度有限的磁性体）时，除计算矿体顶端埋深误差较小外，其他产状参数往往不能得到正确的结果。因此，在生产实践中，日益需要研究总结三度体磁异常的解释推断方法。为了适应广大物探、地质人员研究三度体磁异常的需要，我们编著了这本图集。

这本《图集》的编著出版，是在毛主席的无产阶级革命路线指引下，在伟大的无产阶级文化大革命和批林批孔运动的推动下，坚持**独立自主、自力更生、艰苦奋斗、勤俭建国方针**的结果。

《图集》编著过程中，广西、山东、河北等地的一些兄弟单位参加了工作，给予了大力支持和协助，在此一并表示感谢。

限于我们的水平，《图集》中的缺点和错误一定不少，希望读者批评指正。

桂林冶金地质研究所　冶金地球物理探矿公司

目 录

图集说明	(1)
几种规则三度体磁异常垂直分量 (ΔZ) 平面理论曲线图集	(7)
几种规则三度体磁异常垂直分量 (ΔZ) 平面理论曲线图集	
数据表 (点距 $\Delta x =$ 线距 $\Delta y = h$)	(139)

图集说明

这本《几种规则三度体磁异常垂直分量 (ΔZ) 平面理论曲线图集》，包括球体、有限长水平圆柱体、薄板状体及无限延深厚板状体等四种规则体，在不同产状、不同磁化方向时的磁异常垂直分量 (ΔZ) 平面等值线图215幅；以及垂直磁化条件下磁异常的三个正交分量 (ΔX 、 ΔY 、 ΔZ) 的理论数据24组。现将有关问题说明如下。

基本假定

计算理论曲线时，假定（1）磁性体均匀磁化；（2）磁性体总磁化强度的水平分量指向磁北。后一假定只是为了便于叙述，并不限制图集的应用范围。

坐标系统、符号和单位

本图集用直角座标系， x 轴水平指向磁北， y 轴水平指向磁东， z 轴垂直向下。座标原点 O 的位置有两种：对于球体、水平圆柱体和薄板，原点即磁性体中心在计算平面上的投影点；对于厚板，原点为其水平顶面中心在计算平面上的投影点。

本图集所用的符号有（图1）：

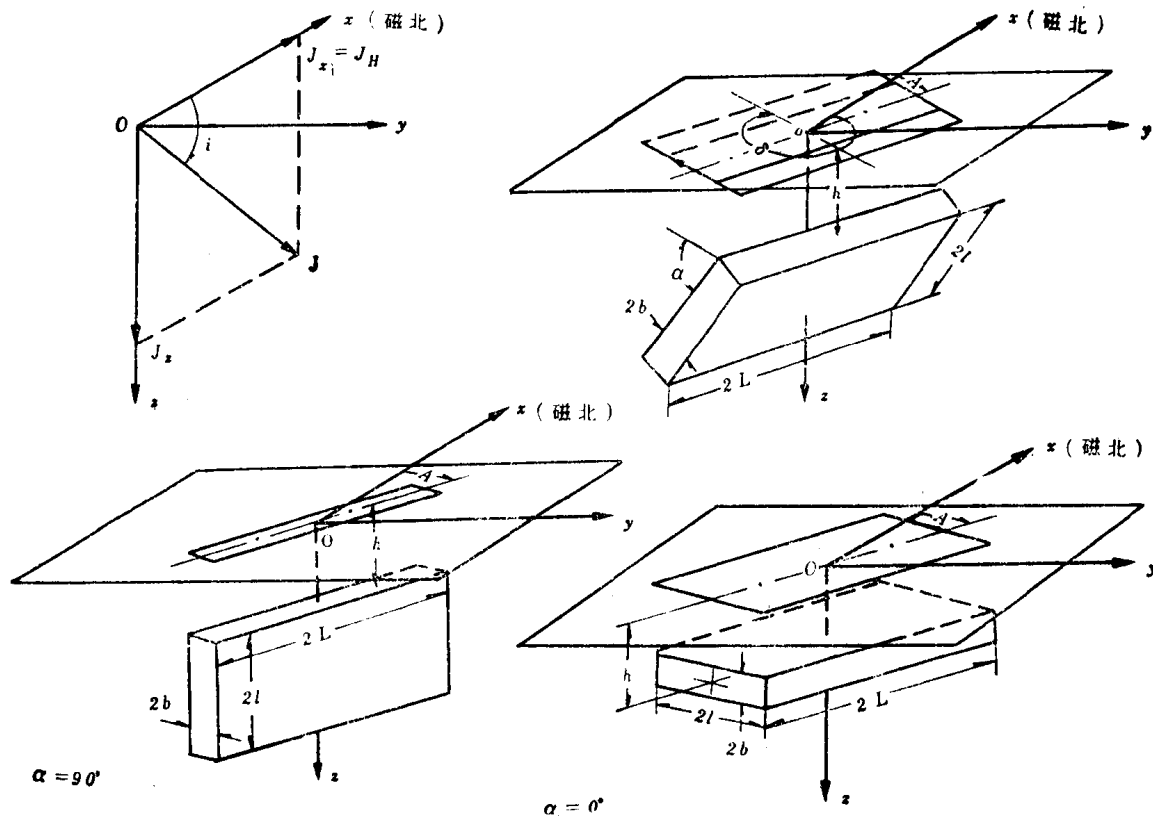


图 1 符号的图示（以薄板的三种情形为例）

- A ——磁性体走向的磁方位角;
 δ ——磁性体倾向的磁方位角;
 α ——磁性体的倾角;
 $2b$ ——薄板的厚度或厚板水平顶面的宽度;
 $2L$ ——磁性体的走向长度;
 $2l$ ——磁性体沿倾斜方向的长度;
 R ——球体的半径;
 h ——球体和水平薄板的中心埋深, 或为直立和倾斜薄(或厚)板顶端埋深;
 J ——总磁化强度, $J = \sqrt{J_x^2 + J_z^2}$ ($J_y = 0$), J_x 即 J 的水平分量 J_H 。除球体的 $J = 0.05$ CGSM 外, 其他形体的 J 均取 1 CGSM;
 i ——总磁化强度倾角。

图集中各项参数和计算结果所采用的单位: $2b$, $2L$, $2l$ 和 R , 都以 h 为单位; 理论曲线图中, 等值线上所标数值的单位是百伽伐, 各表中列出的理论数据的单位是伽伐。

计算公式

(1) 球体 (图 2)

$$\Delta Z = \frac{M}{(x^2 + y^2 + h^2)^{5/2}} [\sin i (2h^2 - x^2 - y^2) + 3xh \cos i] \quad (1)$$

式中 M ——总磁矩, $M = \frac{4}{3} \pi R^3 J$ 。

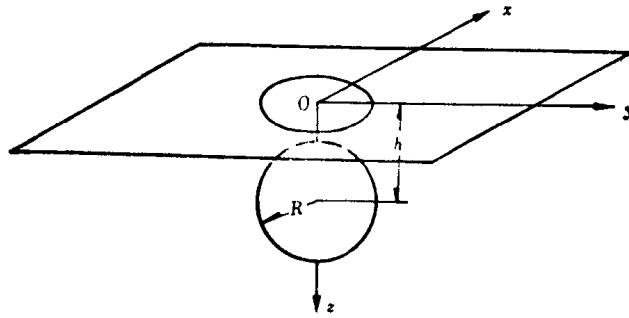


图 2 球体

2 薄板 (图 3)

取直角六面体作为薄板的计算模型。设直角坐标系 $x_1y_1z_1$ (右手系) 的原点 O_1 位于直角六面体中心。 x_1 轴水平, 沿物体的走向; z_1 轴沿物体的倾向; y_1 轴垂直于物体的层面。在该坐标系中, 磁异常的三个正交分量的表达式为:

$$\Delta X_1 = -J_{x_1} \left| \left| \left| \operatorname{tg}^{-1} \frac{(\eta - y_1)(\zeta - z_1)}{(\xi - x_1) \sqrt{(x_1 - \xi)^2 + (y_1 - \eta)^2 + (z_1 - \zeta)^2}} \right| \right| \right|_{\begin{array}{c} L \\ -L \\ L \\ -L \\ L \\ -L \end{array} \left| \begin{array}{c} b \\ -b \\ b \\ -b \\ b \\ -b \end{array} \right| \left| \begin{array}{c} l \\ -l \\ l \\ -l \\ l \\ -l \end{array} \right|} \right.$$

$$-J_{y_1} \left| \left| \left| \ln \left[\sqrt{(x_1 - \xi)^2 + (y_1 - \eta)^2 + (z_1 - \zeta)^2} - (\zeta - z_1) \right] \right] \right| \right| \left| \begin{array}{c} L \\ -L \\ L \\ -L \\ L \\ -L \end{array} \left| \begin{array}{c} b \\ -b \\ b \\ -b \\ b \\ -b \end{array} \right| \left| \begin{array}{c} l \\ -l \\ l \\ -l \\ l \\ -l \end{array} \right| \right| \right|$$

$$-J_{z_1} \left| \left| \left| \ln \left[\sqrt{(x_1 - \xi)^2 + (y_1 - \eta)^2 + (z_1 - \zeta)^2} - (\eta - y_1) \right] \right] \right| \right| \left| \begin{array}{c} L \\ -L \\ L \\ -L \\ L \\ -L \end{array} \left| \begin{array}{c} b \\ -b \\ b \\ -b \\ b \\ -b \end{array} \right| \left| \begin{array}{c} l \\ -l \\ l \\ -l \\ l \\ -l \end{array} \right| \right| \right|$$

$$\Delta Y_1 = -J_{x_1} \left| \left| \ln \left[\sqrt{(x_1 - \xi)^2 + (y_1 - \eta)^2 + (z_1 - \zeta)^2} - (\zeta - z_1) \right] \right| \right|_{\begin{array}{c} L \\ -L \\ -b \\ b \\ l \\ -l \end{array}}^{L \\ -L \\ -b \\ b \\ l \\ -l} \right. \\ - J_{y_1} \left| \left| \operatorname{tg}^{-1} \frac{(\xi - x_1)(\zeta - z_1)}{(\eta - y_1) \sqrt{(x_1 - \xi)^2 + (y_1 - \eta)^2 + (z_1 - \zeta)^2}} \right| \right|_{\begin{array}{c} L \\ -L \\ -b \\ b \\ l \\ -l \end{array}}^{L \\ -L \\ -b \\ b \\ l \\ -l} \right. \quad (2) \\ - J_{z_1} \left| \left| \ln \left[\sqrt{(x_1 - \xi)^2 + (y_1 - \eta)^2 + (z_1 - \zeta)^2} - (\xi - x_1) \right] \right| \right|_{\begin{array}{c} L \\ -L \\ -b \\ b \\ l \\ -l \end{array}}^{L \\ -L \\ -b \\ b \\ l \\ -l} \\ \Delta Z_1 = -J_{x_1} \left| \left| \ln \left[\sqrt{(x_1 - \xi)^2 + (y_1 - \eta)^2 + (z_1 - \zeta)^2} - (\eta - y_1) \right] \right| \right|_{\begin{array}{c} L \\ -L \\ -b \\ b \\ l \\ -l \end{array}}^{L \\ -L \\ -b \\ b \\ l \\ -l} \\ - J_{y_1} \left| \left| \ln \left[\sqrt{(x_1 - \xi)^2 + (y_1 - \eta)^2 + (z_1 - \zeta)^2} - (\xi - x_1) \right] \right| \right|_{\begin{array}{c} L \\ -L \\ -b \\ b \\ l \\ -l \end{array}}^{L \\ -L \\ -b \\ b \\ l \\ -l} \\ - J_{z_1} \left| \left| \operatorname{tg}^{-1} \frac{(\eta - y_1)(\xi - x_1)}{(\zeta - z_1) \sqrt{(x_1 - \xi)^2 + (y_1 - \eta)^2 + (z_1 - \zeta)^2}} \right| \right|_{\begin{array}{c} L \\ -L \\ -b \\ b \\ l \\ -l \end{array}}^{L \\ -L \\ -b \\ b \\ l \\ -l}$$

式中 ξ 、 η 、 ζ 的积分上下限分别是 $(-L, L)$ 、 $(-b, b)$ 、 $(-l, l)$ 。 J_{x_1} 、 J_{y_1} 和 J_{z_1} 分别是 J 在 $x_1 y_1 z_1$ 座标系中的三个正交分量。

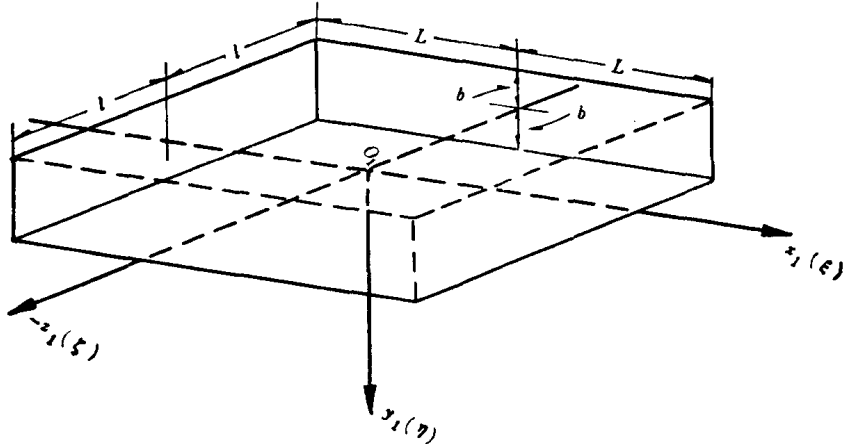


图 3 直角六面体

根据一般直角座标变换的公式和给定的参数 (A , δ , α 和 i)，不难将计算点的 (x, y, z) 座标转换成 (x_1, y_1, z_1) ，並將 J 表示成 J_{x_1} 、 J_{y_1} 和 J_{z_1} ，代入式 (2) 进行计算。同样，可以把计算结果 $(\Delta X_1, \Delta Y_1, \Delta Z_1)$ 再变换为计算点 (x, y, z) 处的磁异常在 $x y z$ 系中的三个正交分量 $(\Delta X, \Delta Y, \Delta Z)$ 。

3. 有限长的水平圆柱体

取埋深比其截面幅度大得多的直立的直角六面体作为计算模型。理论计算表明，这种近似是允许的。

4. 无限延深厚板 (图 4)

利用延深很大、参数相同的一组薄板拼接而成。

全部理论数据，利用 DJS-21 型电子计算机按一定的“测网”密度运算给出。采用简易的线性内插方法，手工绘制成等值线图。

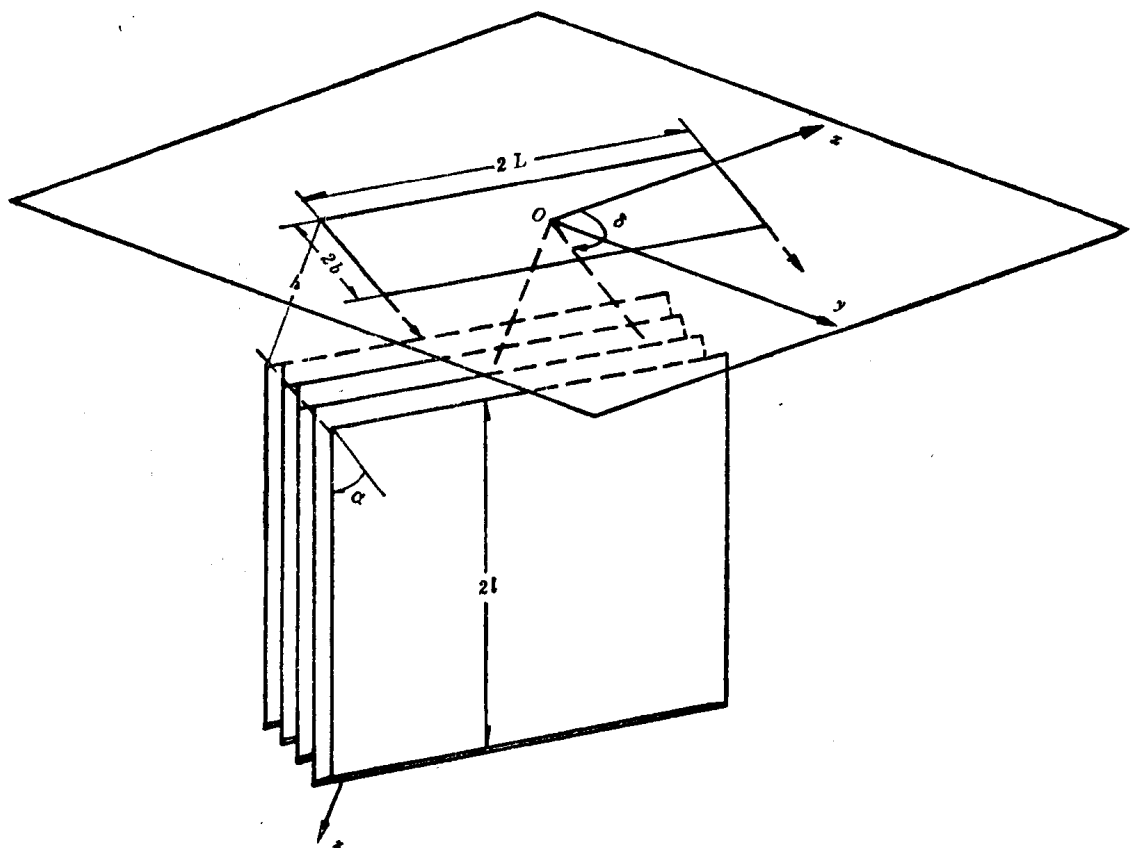


图 4 厚板

图集的应用

1. 本图集每幅图中，除了绘制 ΔZ 平面等值线外，还绘出了磁性体在平面上的投影。这样，从图中可以清楚地看出磁性体产状和磁异常特点之间的关系、磁性体相对于磁异常的位置，可供解释磁异常时作参数。

2. 根据 ΔZ 平面等值线图，可以粗略地绘出通过磁异常体不同部位剖面上的 ΔZ 曲线，可供野外布置精测剖面及推断 ΔZ 曲线时参考。

3. 由于剩余磁化的存在及消磁作用，磁性体总磁化强度水平分量方向可能与磁北不重合。这时，只要将 J 的水平分量方向看作是 x 轴正方向就可以了。在利用实际资料与理论曲线对比时，例如：已知实际 ΔZ 平面等值线图上 J 的水平分量的方向为北 18° 东，则北 18° 东就是 x 轴的正方向（即理论图幅的正方向）。对比结果，若图上磁性体的走向为 45° ，相对磁北而言，磁性体的走向是 63° 。

4. 数据的应用

利用图集所附的垂直磁化条件下三个正交分量 ΔX_{\perp} 、 ΔY_{\perp} 和 ΔZ_{\perp} （表 1—表 24），可以组合成任意磁化方向时的 ΔZ 。为便于计算和使用，取 x 轴水平，沿物体走向； y 轴水平，沿物体倾向； z 轴垂直指向下，原点 O 位于物体中心（对厚板来说，是指其顶面中心）在计算平面的投影点（图 5）。这时，根据泊松公式：

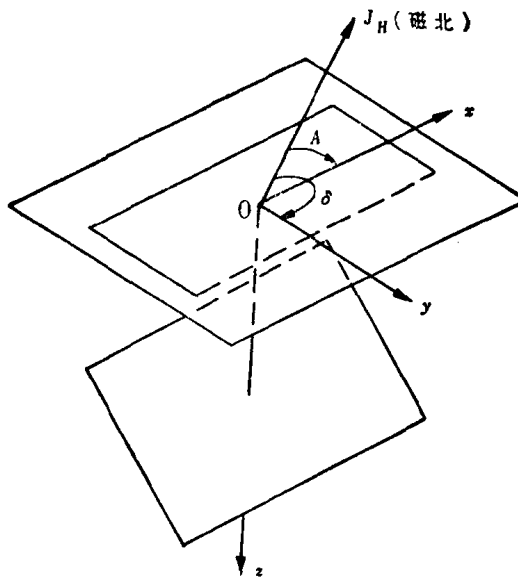


图 5 数据应用时的座标系

$$\Delta Z = J_x V_{xz} + J_y V_{yz} + J_z V_{zz} = \frac{J_x}{J} \Delta X_{\perp} + \frac{J_y}{J} \Delta Y_{\perp} + \frac{J_z}{J} \Delta Z_{\perp}$$

可以导出下列两个实用的计算公式：当 $\alpha = 90^\circ$ 时，

$$\Delta Z = \Delta X_{\perp} \cos i \cos A - \Delta Y_{\perp} \cos i \sin A + \Delta Z_{\perp} \sin i \quad (3)$$

当 $\alpha \neq 90^\circ$ 时，

$$\Delta Z = \Delta X_{\perp} \cos i \sin \delta + \Delta Y_{\perp} \cos i \cos \delta + \Delta Z_{\perp} \sin i \quad (4)$$

今举例说明公式 (3) 和 (4) 的使用方法。

例 1，为计算 $2b/h=1$, $2L/h=5$, $2l/h=20$, $\alpha=45^\circ$ 的厚板状体在 $i=50^\circ$, $\delta=150^\circ$ 时的 ΔZ , 就可以利用附表中 $2b/h=1$, $2L/h=5$, $2l/h=20$, $\alpha=45^\circ$, $i=90^\circ$, $A=0^\circ$ 时的理论数据 (表17)。若计算点为 (3, 4), 则取表17中 4 线 (“测线”平行于 x 轴) 3 点的磁异常的三个分量值: $\Delta X_{\perp}=-20266$, $\Delta Y_{\perp}=-10582$, $\Delta Z_{\perp}=13446$, 连同 $i=50^\circ$, $\delta=150^\circ$ 一起代入式 (4), 即可求得该点的 $\Delta Z=9676$ 。

例 2, 为计算 $2b/h=1$, $2L/h=5$, $2l/h=20$, $\alpha=90^\circ$ 的厚板状体在 $i=25^\circ$, $A=20^\circ$ 时的 ΔZ , 就要利用表18的数据。若计算点为 (2, 2), 则取表18中 2 线 2 点的三个分量值: $\Delta X_{\perp}=-24103$, $\Delta Y_{\perp}=-44787$, $\Delta Z_{\perp}=22258$, 连同 $i=25^\circ$, $A=20^\circ$ 一起代入式 (3), 计算结果为 $\Delta Z=2762$ 。

还需说明的是, 若计算时取总磁化强度为 J (以 10^{-5} CGSM 为单位), 则计算结果均乘一系数 $J/100000$, 才是所要求的 ΔZ (以伽马为单位)。

在垂直磁化条件下, ΔX 、 ΔY 和 ΔZ 具有对称性。

当 $i=90^\circ$ 且 $\alpha=0^\circ$ 或 90° 时,

$$\Delta X(x, y) = \Delta X(x, -y) = -\Delta X(-x, -y) = -\Delta X(-x, y)$$

$$\Delta Y(x, y) = -\Delta Y(x, -y) = -\Delta Y(-x, -y) = \Delta Y(-x, y)$$

$$\Delta Z(x, y) = \Delta Z(x, -y) = \Delta Z(-x, -y) = \Delta Z(-x, y)$$

所以，数据表上只抄录第 I 象限的数据。

当 $i = 90^\circ$ 且 $\alpha \neq 0^\circ$ 和 90° 时，

$$\Delta X(x, \pm y) = -\Delta X(-x, \pm y)$$

$$\Delta Y(x, \pm y) = \Delta Y(-x, \pm y)$$

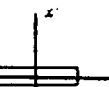
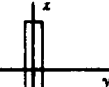
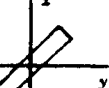
$$\Delta Z(x, \pm y) = \Delta Z(-x, \pm y)$$

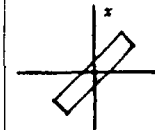
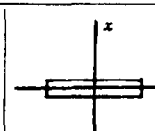
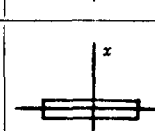
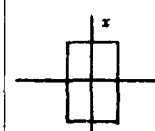
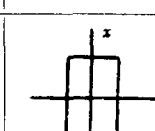
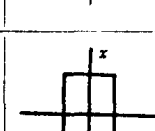
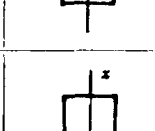
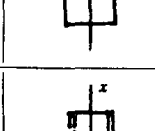
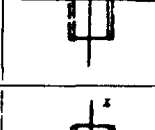
所以，数据表上只抄录 I、II 象限的数据。

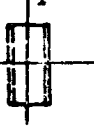
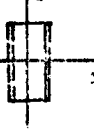
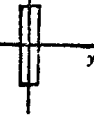
根据所附数据，可以根据实际需要，利用式（3）或（4）作出任意磁化方向的 ΔZ 曲线图，供推断时应用。

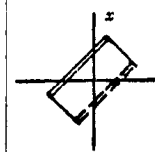
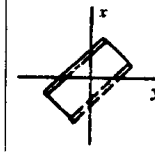
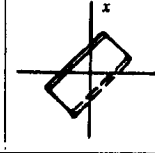
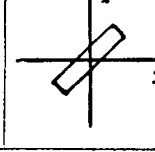
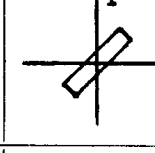
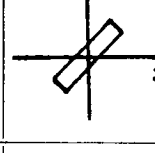
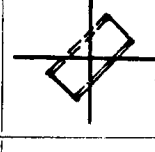
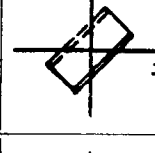
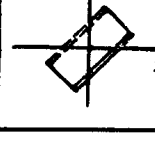
图号	磁性体空间形态					磁化强度倾角 (i)	图页号
	名称	平面投影	$\frac{R}{h}$				
1	球体				0.5	0°	31
2	球体				0.5	45°	31
3	球体				0.5	90°	32

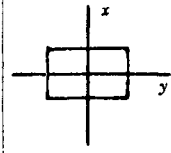
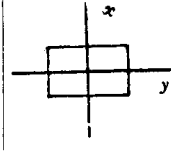
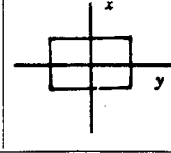
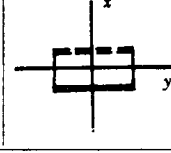
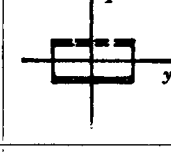
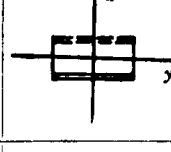
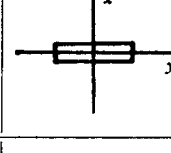
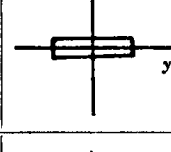
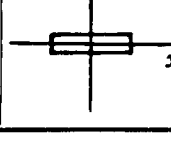
图号	磁性体空间形态							磁化强度倾角 (i)	图页号	
	名称	平面投影	$2b/h$	$2L/h$	$2l/h$	方位角 A	倾斜方位角 δ			
4	水平圆柱体		0.2	3	0.5	0°		90°	0°	32
5	"		0.2	3	0.5	0°		90°	30°	33
6	"		0.2	3	0.5	0°		90°	60°	33
7	"		0.2	3	0.5	0°		90°	90°	34
8	"		0.2	3	0.5	45°		90°	0°	34

图号	磁性体空间形态								磁化强度倾角 (i)	图页号
	名称	平面投影	$2b/h$	$2L/h$	$2l/h$	方位角 A	倾斜方位角 δ	倾角 α		
9	水平圆柱体		0.2	3	0.5	45°		90°	30°	35
10	"		0.2	3	0.5	45°		90°	60°	35
11	"		0.2	3	0.5	90°		90°	0°	36
12	"		0.2	3	0.5	90°		90°	30°	36
13	"		0.2	3	0.5	90°		90°	60°	37
14	"		0.2	5	0.3	0°		90°	0°	37
15	"		0.2	5	0.3	0°		90°	45°	37
16	"		0.2	5	0.3	0°		90°	90°	38
17	"		0.2	5	0.3	45°		90°	0°	39

图号	磁性体空间形态									磁化强度倾角 (i)	图页号
	名称	平面投影	$2b/h$	$2L/h$	$2l/h$	方位角 A	倾斜方位角 δ	倾角 α			
18	水平圆柱体		0.2	5	0.3	45°		90°	45°	39	
19	"		0.2	5	0.3	90°		90°	0°	40	
20	"		0.2	5	0.3	90°		90°	45°	40	
21	薄板		0.2	3	2	0°		0°	0°	41	
22	"		0.2	3	2	0°		0°	30°	41	
23	"		0.2	3	2	0°		0°	60°	42	
24	"		0.2	3	2	0°		0°	90°	42	
25	"		0.2	3	2	0°	270°	45°	0°	43	
26	"		0.2	3	2	0°	270°	45°	30°	43	

图号	磁性体空间形态								磁化强度倾角 (i)	图页号
	名称	平面投影	$2b/h$	$2L/h$	$2l/h$	方位角 A	倾斜方位角 δ	倾角 α		
27	薄板		0.2	3	2	0°	270°	45°	60°	44
28	"		0.2	3	2	0°	270°	45°	90°	44
29	"		0.2	3	2	0°			90°	0°
30	"		0.2	3	2	0°			90°	30°
31	"		0.2	3	2	0°			90°	60°
32	"		0.2	3	2	0°			90°	90°
33	"		0.2	3	2	45°			0°	0°
34	"		0.2	3	2	45°			0°	30°
35	"		0.2	3	2	45°			0°	60°

图号	磁性体空间形态								磁化强度倾角 (i)	图页号
	名称	平面投影	$2b/h$	$2L/h$	$2I/h$	方位角 A	倾方位角 δ	倾角 α		
36	薄板		0.2	3	2	45°	135°	45°	0°	48
37	"		0.2	3	2	45°	135°	45°	30°	49
38	"		0.2	3	2	45°	135°	45°	60°	49
39	"		0.2	3	2	45°		90°	0°	50
40	"		0.2	3	2	45°		90°	30°	50
41	"		0.2	3	2	45°		90°	60°	51
42	"		0.2	3	2	45°	315°	45°	0°	51
43	"		0.2	3	2	45°	315°	45°	30°	52
44	"		0.2	3	2	45°	315°	45°	60°	52

图号	磁性体空间形态								磁化强度倾角 (i)	图页号
	名称	平面投影	$2b/h$	$2L/h$	$2l/h$	方位角 A	倾斜方位角 δ	倾角 α		
45	薄板		0.2	3	2	90°		0°	0°	53
46	"		0.2	3	2	90°		0°	30°	53
47	"		0.2	3	2	90°		0°	60°	54
48	"		0.2	3	2	90°	0°	45°	0°	54
49	"		0.2	3	2	90°	0°	45°	30°	55
50	"		0.2	3	2	90°	0°	45°	60°	55
51	"		0.2	3	2	90°		90°	0°	56
52	"		0.2	3	2	90°		90°	30°	56
53	"		0.2	3	2	90°		90°	60°	57